

# ساخت نانوکامپوزیت $\text{MoSi}_2\text{-TiB}_2$ به وسیله آلیاژسازی مکانیکی و مقایسه خواص آنها برای استفاده در فرایند پاشش گرمایی

اسماعیل رستمیزاده<sup>\*</sup>، فخرالدین اشرفی زاده و محمدحسن عباسی

دانشکده مهندسی مواد، دانشگاه صنعتی اصفهان

(دریافت مقاله: ۱۳۹۲/۰۷/۰۹ – دریافت نسخه نهایی: ۱۳۹۳/۰۲/۲۷)

**چکیده** – در این پژوهش، نانوکامپوزیت  $\text{MoSi}_2\text{-TiB}_2$  با دو نسبت وزنی ۱۰ و ۲۰ درصد تقویت‌کننده  $\text{TiB}_2$  از طریق آلیاژسازی مکانیکی به دو روش مختلف ساخته و مشخصه یابی شد. در روش اول، نمونه‌های پودری عنصر اولیه مولبیدن، سیلیسیم، تیتانیم و بور تا زمان ۶۰ ساعت آسیاب‌کاری شدند. در روش دوم ابتدا  $\text{MoSi}_2$  و  $\text{Si}$  طی ۳۰ ساعت آسیاب‌کاری تولید و سپس پودر  $\text{TiB}_2$  تحریز به آن اضافه شد و آسیاب‌کاری تا ۶۰ ساعت ادامه یافت. پودرهای تولیدی از دو روش تحت عملیات گرمایی در دمای  $1000^\circ\text{C}$  به مدت یک ساعت قرار گرفتند. پیشرفت واکنش‌ها و ویژگی‌های ساختاری شامل اندازه دانه و کرنش شبکه بر مبنای روش ویلیامسون–هال به وسیله پراش پرتو ایکس (XRD) بررسی شد. خواص مکانیکی نمونه‌ها به وسیله آزمون سختی‌سنگی نشان داد با افزودن  $\text{TiB}_2$  بررسی شد. خواص مکانیکی نمونه‌ها به طور قابل توجهی افزایش یافت. فرایند کلوخه‌سازی روی پودرها برای استفاده در فرایند پاشش گرمایی از روش خشک کردن پاششی انجام و فراورده‌های خشک شده پس از فرایند کلوخه‌سازی به وسیله سرنده دانه‌بندی شد. ریخت و ریزساختار پودرهای آسیاب شده قبل و بعد از عملیات کلوخه‌سازی به وسیله میکروسکوپ الکترونی روبشی بررسی و با کمک نرم‌افزار کلمکس میزان کروی بودن و توزیع مساحت ذرات ارزیابی شد. نتایج نشان داد پودر نانوکامپوزیت تولید شده از روش اول، با توجه به بالاتر بودن سختی و میزان کرویت مطلوب پس از عملیات کلوخه‌سازی از کیفیت بالایی برای استفاده در فرایند پاشش گرمایی برخوردار است.

**واژگان کلیدی:** نانوکامپوزیت، آلیاژسازی مکانیکی، کلوخه‌سازی،  $\text{TiB}_2$ ،  $\text{MoSi}_2$

## Synthesis of $\text{MoSi}_2\text{-TiB}_2$ Nanocomposite by Mechanical Alloying through Two Methods and Comparison of Their Properties for Use in Thermal Spraying Process

E. Rostamizadeh<sup>\*</sup>, F. Ashrafizadeh and M. H. Abbasí

Department of Materials Engineering, Isfahan University of Technology, Isfahan, Iran

**Abstract:** In this study,  $\text{MoSi}_2\text{-TiB}_2$  nanocomposites with 10 and 20 wt.% of  $\text{TiB}_2$  were synthesized by mechanical alloying through two different methods. In the first method, elemental powders of molybdenum, silicon, titanium and boron were milled

\* مسئول مکاتبات، پست الکترونیکی: e.rostami@ma.iut.ac.ir

together for 60 hours. In the second method,  $\text{MoSi}_2$  was made by 30-hours milling of Mo and Si. Then, commercial  $\text{TiB}_2$  was added to the matrix and milling was continued for another 30 hours. Heat treatment was carried out on the resultant specimens at  $1000^\circ\text{C}$  for 60 min. The effect of mechanical alloying on grain size and lattice strain was investigated by Williamson-Hall method using XRD patterns. The mechanical properties of the samples were determined by hardness test. It was found that  $\text{TiB}_2$  added to  $\text{MoSi}_2$  increased hardness considerably. Agglomeration process was carried out on the powders to be used in thermal spray process. The morphology and microstructure of the milled powders before and after agglomeration process were studied by SEM. The sphericity and particle size distribution of agglomerated particles were evaluated using Clemex software. The results showed that the nanocomposite powder produced by the first method had a higher quality for thermal spray process due to its higher hardness compared to the second one. It also had adequate particles sphericity.

**Keywords:** Mechanical alloying, Agglomeration,  $\text{MoSi}_2$ ,  $\text{TiB}_2$

در محدوده  $1800^\circ\text{C}$ ، سختی (GPa)  $1/3 - 600$ ، مدول یانگ

و استحکام خمی  $250 \text{ MPa}$  از جمله موادی است که برای کاربردهای دما بالای سازه‌ای مانند المان‌های گرمایی کوره‌ها، قطعات داغ، دیواره اگزوز موشک، اتصال‌های احتراق موتور دیزل، فراوری شیشه و صنایع هواپسا به تازگی مورد توجه زیادی قرار گرفته‌اند [۴-۹]. با این حال نقاط ضعف کاربرد  $\text{MoSi}_2$  به‌سبب مقاومت به خرمش کم آن در دمای بالا و چقرمگی شکست ضعیف در دمای اتاق است. بنابراین کاهش اندازه دانه تا مقیاس نانومتری و تولید نانوکامپوزیت با استفاده از  $\text{SiC}$ ,  $\text{TiB}_2$ ,  $\text{Ta}$ ,  $\text{Nb}$ ,  $\text{Mo}_5\text{Si}_3$ ,  $\text{ZrO}_2$  و  $\text{HfO}_2$  روش‌هایی امیدبخش برای بهینه‌سازی ویژگی‌های  $\text{MoSi}_2$  هستند [۱۰، ۱۱].

ترکیب بین‌فلزی  $\text{TiB}_2$  تقویت‌کننده‌ای است که به‌دلیل داشتن خواصی بی‌نظیر مانند دمای ذوب بالای  $2970^\circ\text{C}$  و چگالی پایین  $4.52 \text{ g/cm}^3$ ، سختی بالای  $1800 \text{ HK}$ ، مدول الاستیک بالای  $50-575 \text{ GPa}$ ، رسانش گرمایی بالای  $25 \text{ W/m.K}$ ، ضریب انبساط گرمایی پایین، مقاومت به‌سایش عالی، رسانایی الکتریکی قابل قبول، خواص دیرگذاری عالی و نیز خشی بودن شیمیایی به‌طور وسیع در برخی از شاخه‌های صنعت استفاده می‌شود. ساختار بلوری این ترکیب هگزاگونال است [۱۲]. ترکیب  $\text{TiB}_2$  عموماً از احیای  $\text{TiO}_2$  و  $\text{B}_2\text{O}_3$  با کربن یا یک فلز فعال و به‌صورت یک واکنش احتراقی خودپیشرونده تولید می‌شود [۱۳].

از روش‌های تولید  $\text{MoSi}_2$ ، متالورژی پودر، فشردن ایزوفاستاتیک داغ، آلیاژسازی مکانیکی، فرایندهای پلاسمایی

## ۱- مقدمه

در فناوری‌های گرمایی مانند ساخت توربین‌های گازی، نیاز به موادی با چگالی پایین، مقاومت بالا در برابر اکسیداسیون و پایداری شیمیایی، مکانیکی و فیزیکی در دمای بالا توسعه روزافزون یافته، پژوهش‌های جامعی راجع به مواد مختلف مثل ترکیب‌های آلمینیوم-نیکل و آلمینیوم-تیتانیم صورت گرفته است. لیکن از آنجایی که نقطه ذوب این ترکیب‌ها پایین و در محدوده  $1400-1600^\circ\text{C}$  است، کارایی آن‌ها تا دمای  $1200^\circ\text{C}$  محدود می‌شود. برای غلبه بر این مشکل، پژوهشگران بسیاری در صدد برآمدن تا ترکیب‌های جدیدی را جایگزین مواد قبلی نمایند و در این راستا، یکی از بهترین پیشنهادات ترکیب بین‌فلزی  $\text{MoSi}_2$  بوده است [۱]. نمودار فازی دوتایی  $\text{Mo}-\text{Si}$  دارای سه ترکیب بین‌فلزی  $\text{MoSi}_2$ ,  $\text{Mo}_5\text{Si}_3$  و  $\text{Mo}_3\text{Si}$  با نقاط ذوب به ترتیب  $2030^\circ\text{C}$ ,  $2180^\circ\text{C}$  و  $2025^\circ\text{C}$  است [۲]. ترکیب  $\text{MoSi}_2$  دارای ساختار بلوری تراگونال مرکزدار<sup>۱</sup> با شش اتم در هر واحد شبکه است. دی‌سیلیسید‌مولیبدن در دمای محیط دارای ساختار تراگونال  $\text{C}11\text{b}$  بوده که با نظم پردازه و مشکل از سه شبکه مکعبی مرکزدار<sup>۲</sup> است که در جهت محور  $\text{C}$  به هم فشرده‌اند. در این ساختارها اتم‌های  $\text{Mo}$  و  $\text{Si}$  به‌طور یک‌در میان در مرکز قرار گرفته‌اند. پارامترهای شبکه این ماده برابر  $a=3/20.2 \text{ \AA}$  و  $c=7/84.5 \text{ \AA}$  است و دارای تراگونالیتی  $c/a=2/45.2$  است [۳].

ترکیب بین‌فلزی  $\text{MoSi}_2$  به عنوان یک سیلیسید با خواصی نظیر نقطه ذوب بالا ( $2030^\circ\text{C}$ ), چگالی ( $6.3 \text{ g/cm}^3$ ), پایداری شیمیایی بالا، رسانش گرمایی بالا، مقاومت به اکسیداسیون عالی

خلوص ۹۸ درصد ساخت شرکت مرك<sup>۹</sup> آلمان، پودر بور با خلوص ۹۹ درصد و اندازه ذرات میانگین ۲ میکرون ساخت شرکت مرك آلمان و پودر ترکیب تیتانیم بوراید با خلوص ۹۸ درصد و اندازه ذرات میانگین ۵ میکرون ساخت کشور روسیه استفاده شد. برای انجام فرایند آلیاژسازی مکانیکی از آسیاب گلوله‌ای آزمایشگاهی دو محفظه‌ای، با دور ۵۰۰ rpm و نسبت وزنی گلوله به پودر ۱۵ به ۱ و ۵ گلوله فولادی به قطر ۲ cm استفاده شد. برای جلوگیری از اکسیدشدن ذرات پودر حین آلیاژسازی مکانیکی، عملیات در اتمسفر گاز آرگون با خلوص ۹۹/۹ درصد انجام گرفت.

اولین بخش از آزمایش‌ها، ساخت MoSi<sub>2</sub> با روش آلیاژسازی مکانیکی از مخلوط پودرهای مولیبدن و سیلیسیم بود که برای تولید MoSi<sub>2</sub>، آسیاب‌کاری تا ۶۰ ساعت انجام شد. بخش دوم آزمایش‌ها برای ساخت پودر نانوکامپوزیت زمینه MoSi<sub>2</sub> با دو نسبت وزنی ۱۰ و ۲۰ درصد تقویت‌کننده در TiB<sub>2</sub> از طریق آلیاژسازی مکانیکی انجام شد. این نانوکامپوزیت از دو روش ساخته شد. در روش اول نمونه‌های پودری عناصر اولیه مولیبدن، سیلیسیم، تیتانیم و بور با نسبت استوکیومتری تا زمان ۶۰ ساعت مورد آسیاب‌کاری قرار گرفتند. در روش دوم ابتدا MoSi<sub>2</sub> از مولیبدن و سیلیسیم طی ۳۰ ساعت آسیاب‌کاری تولید و سپس پودر TiB<sub>2</sub> تجاری به آن اضافه شد و آسیاب‌کاری تا ۶۰ ساعت ادامه یافت. سپس پودرهای تولیدی تحت عملیات گرمایی به مدت یک ساعت در دمای ۱۰۰۰°C قرار گرفتند.

ریزسختی ذرات پودرهای آسیاب شده، با استفاده از دستگاه ریزسختی سنج مدل M-400 ساخت شرکت بوهر<sup>۷</sup> اندازه‌گیری شد. برای این کار نمونه‌های پودری مانت گرم، سنباده‌زنی و پولیش شدند. در تمامی آزمایش‌ها بار اعمالی و زمان توقف به ترتیب ۲۵ گرم و ۱۰ ثانیه انتخاب شد. به دلیل پراکندگی اعداد اعداد به دست آمده گزارش شد. برای درشت کردن ذرات ریز و مناسب سازی اندازه ذرات،

و فرایندهای رسوب از بخار را می‌توان نام برد. روش آلیاژسازی مکانیکی بر پایه واکنش حالت جامد در دمای اتاق به عنوان روشی جدید در تولید مواد پودری با ساختارهای بسیار ریز و نانو شناخته شده است. با توجه به این که تمام واکنش‌ها در طول این فرایند در حالت جامد انجام می‌شود، برای تولید ترکیبات با نقطه ذوب بالا نظیر MoSi<sub>2</sub> بسیار مناسب است [۱۴].

گزارش‌های بسیاری در مورد ساخت ترکیب بین‌فلزی MoSi<sub>2</sub> به روش آلیاژسازی مکانیکی ارائه شده است [۹-۷ و ۱۵-۱۷]. پژوهش‌هایی در زمینه ساخت کامپوزیت و نانوکامپوزیت MoSi<sub>2</sub> با تقویت‌کننده‌های مختلف صورت گرفته است. زمانی و همکاران [۴] گزارش کردند که تشکیل پودر نانوکامپوزیت<sup>۳</sup> MoSi<sub>2</sub>-Mo<sub>5</sub>Si<sub>3</sub> پس از ۴۸ ساعت آلیاژسازی مکانیکی رخ می‌دهد. ذاکری و همکاران [۳] نشان دادند با استفاده از عناصر اولیه، پودر نانو کامپوزیت MoSi<sub>2</sub>-TiC در ۳۰ ساعت تولید می‌شود. در همین راستا ذاکری و همکاران در پژوهش‌های اخیر خود از تقویت‌کننده SiC به جای TiC استفاده کردند و مشخص نمودند که در ۲۰ ساعت آسیاب‌کاری نانوکامپوزیت MoSi<sub>2</sub>-SiC تولید می‌شود. در مراجع به ساخت نانوکامپوزیت زمینه MoSi<sub>2</sub> با ذرات تقویت‌کننده TiB<sub>2</sub> به وسیله روش آلیاژسازی مکانیکی برای تولید پودرهای مناسب برای فرایند پاشش گرمایی<sup>۳</sup> اشاره‌ای نشده است. هدف این مقاله بررسی ساخت ترکیب MoSi<sub>2</sub> و ساخت نانوکامپوزیت MoSi<sub>2</sub>-TiB<sub>2</sub> از دو روش بود. بنابراین در این پژوهش عوامل موثر بر فرایند ساخت و تأثیر آن‌ها بر خواص فرآورده‌ای که خواص لازم برای فرایند پاشش گرمایی را داشته باشد مورد بررسی قرار گرفته است.

## ۲- روش پژوهش

در این پژوهش برای انجام فرایند آلیاژسازی مکانیکی از پودر مولیبدن با خلوص ۹۹/۸ درصد ساخت شرکت رید-هین<sup>۴</sup>، سیلیسیم با خلوص ۹۹ درصد ساخت شرکت آلدربیچ<sup>۵</sup>، تیتانیم با

مکانیکی و توزیع اندازه ذرات بعد از عملیات کلوخه‌سازی با استفاده از میکروسکوپ الکترونی روبشی<sup>۱۲</sup> فیلیپس مدل XL30 بررسی شد.

اندازه دانه پودرها پس از فرایند آلیاژسازی مکانیکی در انعکاس‌های زاویه کم و با استفاده از رابطه ۱ معروف به رابطه ویلیامسون - هال [۱۸ و ۱۹] محاسبه شد.

$$S_r \cos \theta = \frac{k}{d} + 2v \sin \alpha \quad (1)$$

در رابطه ۱، کرنش داخلی،  $\theta$  زاویه انعکاس،  $d$  اندازه دانه،  $v$  مجموع پهن شدنگی ناشی از ریزدانگی و کرنش داخلی و ثابت شر  $k=0.9$  است. منحنی قله الگوی پراش پرتو ایکس با تابع گوسی چهار متغیره برآش و<sup>۲</sup> براساس روش وارن به صورت رابطه ۲ محاسبه شد.

$$S_r = \sqrt{S_0^2 - S_i^2} \quad (2)$$

در رابطه ۲،  $S_0$  و  $S_i$  به ترتیب پهن شدنگی ناشی از خطای دستگاه و پهن شدنگی کل است. اندازه دانه  $d$  با رسم نمودار ویلیامسون- هال و تعیین عرض از مبدأ به دست آمد.

### ۳- نتایج و بحث

#### ۳-۱- آلیاژسازی مکانیکی و عملیات گرمایی

##### ۳-۱-۱- ساخت ترکیب بین فلزی MoSi<sub>2</sub> با عناصر اولیه

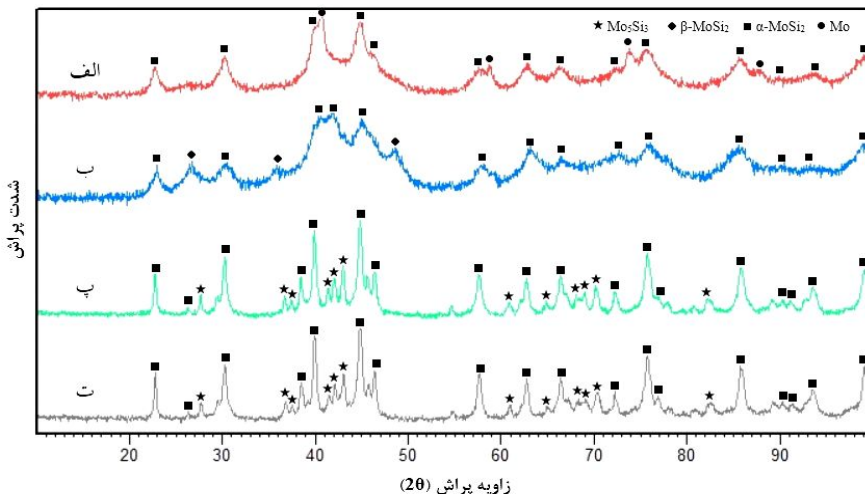
دو عنصر مویلیدن و سیلیسیم در آسیاب کاری با نسبت ۱ به ۲ وارد شده‌اند و باید طی یک واکنش گرمaza به ترکیب بین فلزی MoSi<sub>2</sub> تبدیل شوند. واکنش انجام شده در حین آسیاب کاری مطابق واکنش<sup>۳</sup> [۲۰] است:



شکل ۱، الگوی پراش پرتو ایکس ترکیب MoSi<sub>2</sub> (MT0) با دو ساختار فازی (C11<sub>b</sub>) و (C40)-MoSi<sub>2</sub> با دو ساختار فازی (C11<sub>b</sub>) و (C40)-MoSi<sub>2</sub> (C40) پس از ۳۰ و ۶۰ ساعت آسیاب کاری قبل و بعد از عملیات گرمایی را نشان می‌دهد. همان‌طورکه مشاهده می‌شود با افزایش زمان آسیاب کاری قله‌های عناصر اولیه (Si) ناپدید و از شدت برخی دیگر (Mo) کاسته می‌شود و پهنهای آنها

پودرهای نانوکامپوزیت ساخته شده برای استفاده در فرایند پاشش گرمایی تحت عملیات خشک کردن پاششی<sup>۸</sup> قرار گرفتند. محلول مورد استفاده در عملیات خشک کردن پاششی از چسب پلی‌وینیل‌الکل<sup>۹</sup> به میزان ۲٪ وزنی، پودر نانوکامپوزیت MoSi<sub>2</sub>-TiB<sub>2</sub> به میزان ۱۸٪ وزنی و مابقی آب دیونیزه با استفاده از هم‌زن مغناطیسی ساخته شد و عملیات خشک کردن محلول در دمای ۱۳۰°C و با سرعت ۱۱۵ rpm انجام گرفت. استفاده از هم‌زن مغناطیسی برای ایجاد سوسپانسیونی کاملاً یکنواخت و همگن است و باعث می‌شود ذرات احتمالی ناخواسته‌ی فولادی در پودر نانوکامپوزیت MoSi<sub>2</sub>-TiB<sub>2</sub> جذب هسته مغناطیسی شده، خلوص پودر ترکیبی افزایش یابد. سپس دانه‌بندی فراورده خشک شده توسط سرندهایی با اندازه سوراخ ۵۳-۲۵۰ μm صورت گرفت. اندازه‌گیری میزان کروی بودن و توزیع مساحت ذرات بعد از عملیات کلوخه‌سازی به کمک نرمافزار Clemex-Vision 4.0 میکروسکوپی را کرویت آن می‌نامند. فاکتور کرویت عددی بین ۰ تا ۱ است و هرچه فاز موربد برسی کروی تر باشد، میزان فاکتور کرویت به دست آمده برای آن فاز به عدد ۱ نزدیک‌تر خواهد بود. برای شناسایی فازهای موجود در فرآوردهای مراحل مختلف آلیاژسازی مکانیکی از پراش پرتو ایکس<sup>۱۰</sup> استفاده شد. آزمایش‌های پراش پرتو ایکس با دستگاه فیلیپس مدل X'pert-MPD تحت ولتاژ ۴۰ KV و جریان ۴۰ mA صورت گرفت. در تمام آزمایش‌ها از پرتو ایکس CuK $\lambda$  تکفام با طول موج ۱/۵۴۰۶ Å استفاده شد و گام روبش ۰/۰۴ در محدوده ۹۰-۲۰° بود. هم‌چنین برای بررسی رفتار گرمایی و ارایه مکانیزم تشکیل نانوکامپوزیت نمونه‌های آسیاب کاری شده، از آزمون تحلیل گرمایی کالری متری روبشی تفاضلی<sup>۱۱</sup> با دستگاه STA PC Luxx تحت نرخ گرمایش ۱۰°C/min در محدوده دمایی ۲۵ تا ۱۲۰°C در اتمسفر گاز آرگون استفاده شد.

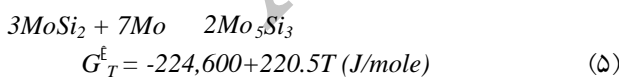
ریخت (مورفولوژی) و ریزساختار سطح مقطع ذرات پودر مواد اولیه و نمونه‌های تولیدشده پس از فرایند آلیاژسازی



شکل ۱- الگوهای XRD نمونه MT0 از آسیاب شده: (الف) ۳۰ ساعت آسیاب کاری، (ب) ۶۰ ساعت آسیاب کاری و عملیات گرمایی و (پ) ۳۰ ساعت آسیاب کاری و عملیات گرمایی

فازهای غیر تعادلی در دمای اتاق می‌شود. از سوی دیگر حرارت‌دهی منجر به تشکیل فاز تعادلی ( $\text{MoSi}_2$ - $\text{Mo}_5\text{Si}_3$ ) پس از سرد کردن تا دمای اتاق شد.

همان‌طور که در شکل ۱ مشخص است، پس از گرمادهی قله  $\text{Mo}_5\text{Si}_3$  نیز ظاهر شده است. تشکیل  $\text{Mo}_5\text{Si}_3$  را می‌توان به دو دلیل نسبت داد. اول اینکه در طی عملیات گرمایی مقداری از مولیبدن باقیمانده با سیلیسیم باقیمانده، که در اثر ضربه جذب بالای مولیبدن پراش پرتو آن محو شده است، واکنش داده و  $\text{Mo}_5\text{Si}_3$  تشکیل می‌شود. دوم اینکه فاز  $\text{MoSi}_2$  و مولیبدن باقیمانده به  $\text{Mo}_5\text{Si}_3$  تبدیل می‌شود که مطابق با واکنش‌های ۴ و ۵ [۲۰] است.



با توجه به دو واکنش فوق و اطلاعات ترمودینامیکی ارائه شده تغییر انرژی آزاد استاندارد این دو واکنش در دمای اتاق و در دمای عملیات گرمایی منفی است. بنابراین امکان انجام واکنش ۴ نسبت به واکنش ۵ بیشتر است و تمام پودر مولیبدن در واکنش ۴ مصرف می‌شود.

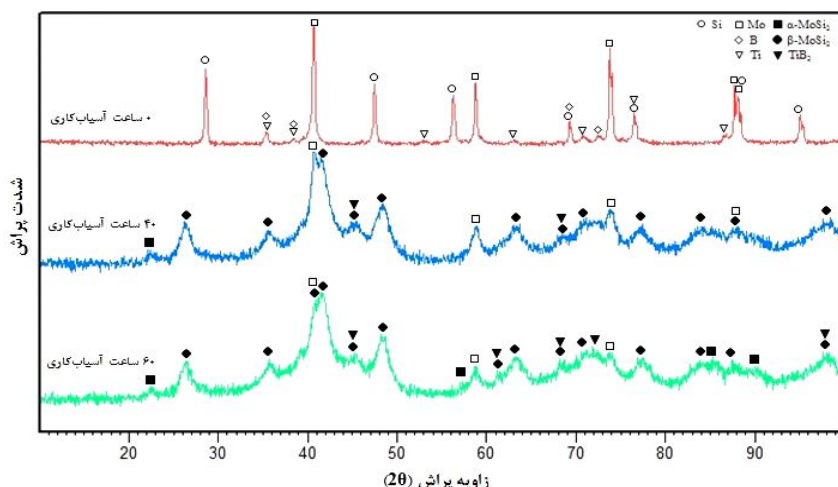
پهن شدن قله‌های  $\text{MoSi}_2$  در الگوی پراش پرتو ایکس،

به طور تدریجی افزایش می‌یابد. کاهش شدت قله‌ها در اثر فرایند آلیاژسازی مکانیکی به ریز شدن دانه‌ها و افزایش کرنش شبکه مربوط می‌شود. کاهش اندازه دانه‌ها و افزایش کرنش شبکه ناشی از ایجاد نابجایی‌ها، مرز دانه‌ها و تشکیل مرزهای فرعی در طی فرایند است. با افزایش زمان آسیاب کاری، محلول جامد ( $\text{Mo}(\text{Si})$ ) به حالت اشباع می‌رسد و ترکیب بین فلزی  $\text{MoSi}_2$  تشکیل می‌شود.

پس از ۳۰ ساعت آسیاب کاری، اندازه دانه فازهای موجود کاهش می‌یابد. همچنان پس از گذشت ۳۰ ساعت از آسیاب کاری همچنان قله اصلی مولیبدن (110) در نمودار الگوی پراش پرتوی ایکس موجود است. افزایش زمان آسیاب کاری تا ۶۰ ساعت منجر به ناپدید شدن قله‌های  $\text{MoSi}_2$  به دلیل کم بودن مقدار آن و نانوبلوور شدن در الگوی پراش پرتو ایکس (شکل ۱) شد. این امر نشان می‌دهد که  $\text{MoSi}_2$  با ساختار تتراگونال بعد از ۶۰ ساعت آسیاب کاری تشکیل شده است. همان‌طور که در شکل ۱ دیده می‌شود پس از عملیات گرمایی، قله مولیبدن به سبب تشکیل  $\text{MoSi}_2$  پس از حرارت‌دهی به طور کامل ناپدید شده است. همچنان فاز  $\text{MoSi}_2$ - $\text{MoSi}_2$  به تبدیل شده است. به این دلیل که آلیاژسازی مکانیکی فرایندی غیر تعادلی است، منجر به تشکیل

جدول ۱- میانگین اندازه دانه و میکروکرنش پودر  $\text{MoSi}_2$  آسیاب شده پیش و پس از عملیات گرمایی

۶۰				۳۰				ساختار بلوری	
پس از عملیات گرمایی (%)		پیش از عملیات گرمایی (%)		پیش از عملیات گرمایی (%)		پس از عملیات گرمایی (%)			
d(nm)	(%)	d(nm)	(%)	d(nm)	(%)	d(nm)	(%)		
۲۱	۰/۱۵	۹/۴	۱/۰۲	۳۳/۸	۰/۱۹	۱۵/۹	۰/۷۴	- $\text{MoSi}_2$	
-	-	۱۷/۷	۰/۷۵	-	-	-	-	- $\text{MoSi}_2$	



شکل ۲- الگوهای XRD از نمونه MT1-10 آسیاب شده در زمان‌های مختلف



$$G_f^{\circ} = -131,800 + 65.1T \text{ (J/mole)} \quad (6)$$



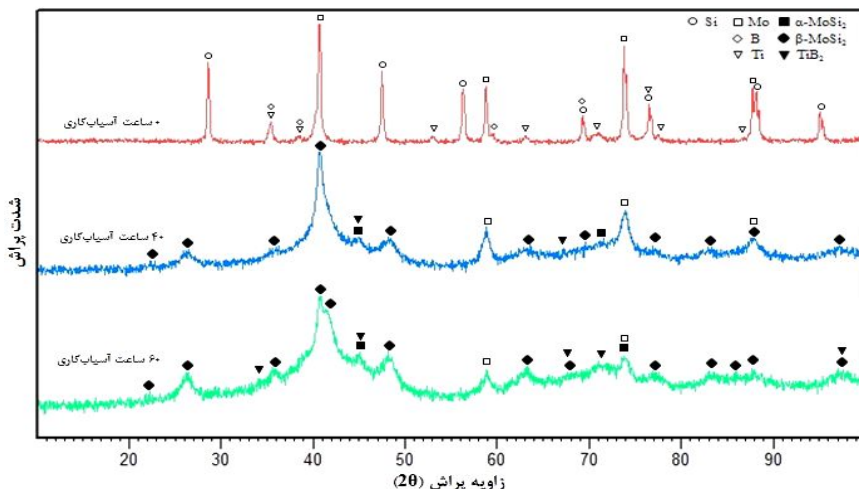
$$G_f^{\circ} = -319,900 + 28.5T \text{ (J/mole)} \quad (7)$$

طبق اطلاعات ترمودینامیکی واکنش‌های ۶ و ۷، تغییر انرژی آزاد استاندارد این دو واکنش در دمای اتاق منفی است. البته بهدلیل وجود سدهای سیستیکی، امکان انجام یک واکنش در دمای محیط دلیلی بر قطعی بودن انجام آن واکنش نخواهد بود. به خوبی شناخته شده که آلیاژسازی مکانیکی از طریق افزایش مرزدانه‌ها به عنوان روش‌های نفوذ سریع، افزایش عیوب بلوری و خروج دینامیکی فراورده‌ها تولیدی در فصل مشترک مواد واکنش دهنده به گونه موثری قابلیت افزایش سیستیک واکنش‌ها در دمای محیط را دارد. شکل ۲، الگوهای پراش پرتو ایکس نمونه MT1-10 قبل از آسیاب کاری و پس از ۴۰ و ۶۰ ساعت آسیاب کاری را نشان می‌دهد. افزایش شدت، گستردگی شدن قله و ناپدید شدن بعضی قله‌ها از اثرات افزایش زمان آسیاب کاری

ناشی از افزایش کرنش و ریز شدن دانه‌ها است. با استفاده از رابطه ۱ اندازه دانه و کرنش محاسبه شد. جدول ۱ اندازه دانه و کرنش شبکه  $\text{MoSi}_2$  را در زمان ۳۰ و ۶۰ آسیاب کاری پیش و پس از عملیات گرمایی نشان می‌دهد.

### ۲-۱-۳- ساخت نانوکامپوزیت $\text{MoSi}_2\text{-TiB}_2$ تک مرحله‌ای با عناصر اولیه

در این روش ساخت درجای نانوکامپوزیت زمینه  $\text{MoSi}_2$  با ذرات تقویت‌کننده  $\text{TiB}_2$  بدون تشکیل ترکیب‌های ناخواسته مانند  $\text{Mo}_5\text{SiB}_2$  و یا  $\text{TiSi}_2$  مورد نظر بود. برای تولید درجای نانوکامپوزیت  $\text{MoSi}_2\text{-TiB}_2$ ، آلیاژسازی مکانیکی تک مرحله‌ای مخلوط پودرهای مولیبدن، سیلیسیم، تیتانیم و بور با دو ترکیب مطلوب  $(\text{MT1-10})\text{Si}_2\text{-}10\text{wt\%}\text{TiB}_2$  و  $(\text{MT1-20})\text{MoSi}_2\text{-}20\text{wt\%}\text{TiB}_2$  بر مبنای واکنش‌های ۶ و ۷ مورد مطالعه قرار گرفت.



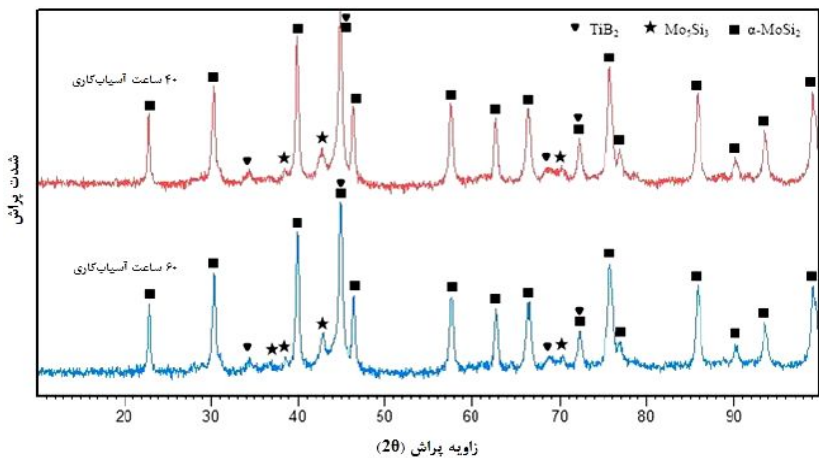
شکل ۳- الگوهای XRD از نمونه MT1-20 آسیاب شده در زمان‌های مختلف

کاهش اندازه دانه زمینه شود که منجر به کاهش شدت قله‌ها و عریض شدن آن‌ها شده است.

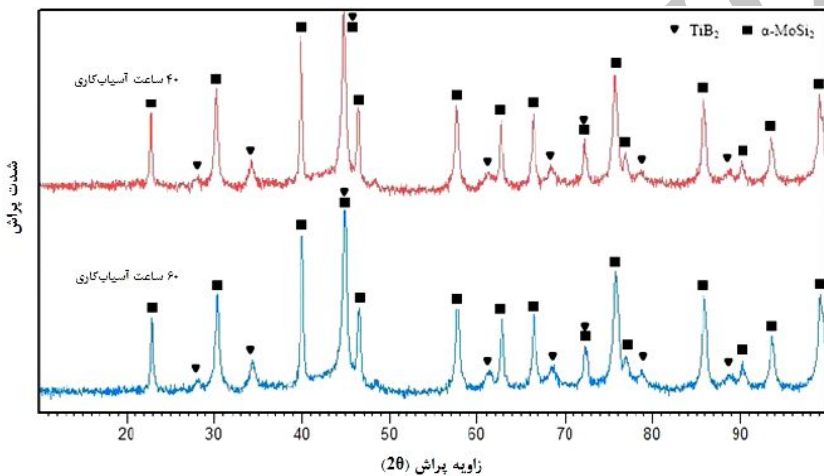
گرمادهی نمونه‌های آسیاب شده ۴۰ و ۶۰ ساعت برای هر دو نمونه در  $1000^{\circ}\text{C}$  در اتمسفر آرگون پس از یک ساعت انجام شد تا تأثیر عملیات گرمایی بر تبدیل فاز  $\text{MoSi}_2$ - $\text{MoSi}_2$  به  $\text{MoSi}_2$ - $\text{TiB}_2$ ، اندازه دانه و کرنش شبکه ارزیابی شود. در نمونه‌های آسیاب شده  $\text{MoSi}_2$  تشکیل شده دارای فاز-شش وجهی است. به این دلیل که آلیاژسازی مکانیکی فرایندی غیر تعادلی است، منجر به تشکیل فازهای غیرتعادلی در دمای اتفاق می‌شود. از سوی دیگر گرمادهی منجر به واکنش فاز تعادلی ( $\text{MoSi}_2$ - $\text{MoSi}_2$ ) شده است. همچنین گرمادهی به واکنش جزئی مواد اولیه منجر شد. همان‌طور که در شکل‌های ۴ و ۵ دیده می‌شود، فازهای  $\text{MoSi}_2$  و  $\text{TiB}_2$  پس از گرمادهی تشکیل شد. به این ترتیب می‌توان نتیجه گرفت که برای کامل شدن واکنش، انرژی بیشتری باید به وسیله روش مکانیکی تأمین شود. برای این هدف ابتدا انرژی مکانیکی بیشتری با ۶۰ ساعت آسیاب کاری به نمونه داده شد. در مرحله دوم انرژی گرمایی به وسیله گرمادهی در دمای بالا تأمین شد. در نهایت پودر نانوکامپوزیت  $\text{MoSi}_2\text{-TiB}_2$  در  $1000^{\circ}\text{C}$  پس از یک ساعت با موفقیت ساخته شد. همچنین مشاهده می‌شود در نمونه MT1-20 نسبت به نمونه MT1-10 قله‌های  $\text{TiB}_2$  بیشتری ظاهر شده است که این هم به دلیل بیشتر بودن درصد

است. همانگونه که در شکل ۲ مشاهده می‌شود، پس از گذشت ۴۰ ساعت از زمان آسیاب کاری، بیشتر قله‌های مواد اولیه ناپدید (B، Ti، Si) و از شدت برخی دیگر (Mo) کاسته شده است. در عوض در الگوی پراش قله‌های جدیدی مربوط به ترکیب‌های  $\text{MoSi}_2$  و قله‌های ضعیفی مربوط به  $\text{TiB}_2$  پدیدار شده است. در واقع می‌توان گفت که مواد اولیه با یکدیگر واکنش داده، نانوکامپوزیت مورد نظر را تشکیل داده‌اند. تشکیل  $\text{MoSi}_2$  با هر دو فاز و آغاز شده است که با توجه به شدت قله‌ها مشخص است مقدار فاز بیشتر است. پس از گذشت ۶۰ ساعت آسیاب کاری از شدت قله مولیبدن در الگوی پراش کاسته (در محدوده  $2 = 40^{\circ}$  و به میزان کمی بر شدت قله‌های فراورده  $\text{MoSi}_2$ - $\text{MoSi}_2$  و  $\text{TiB}_2$ ) افزوده شده است.

شکل ۳ الگوهای پراش پرتو ایکس محلول نمونه MT1-20 قبل از آسیاب کاری و پس از ۴۰ و ۶۰ ساعت آسیاب کاری را نشان می‌دهد. با توجه به این نمودار می‌توان دریافت که با افزایش درصد تقویت‌کننده، کمی بر شدت قله‌های مربوط به  $\text{TiB}_2$  افزوده شده است. همچنین شدت قله‌های نمونه MT1-20 نسبت به نمونه 10 با افزایش زمان آسیاب کاری کاهش بیشتری یافته است. دلیل این امر می‌تواند افزایش مقدار تقویت کننده  $\text{TiB}_2$  باشد. یک فاز سخت است و می‌تواند خود به عنوان یک عامل ساینده به آسیاب کاری کمک کند و باعث



شکل ۴- الگوهای XRD نمونه MT1-10 پس از عملیات گرمایی در زمان ۴۰ و ۶۰ آسیاب کاری



شکل ۵- الگوهای XRD نمونه MT1-20 پس از عملیات گرمایی در زمان ۴۰ و ۶۰ آسیاب کاری

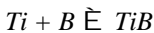
دوره طولانی تر از آسیاب کاری نیاز است.

گفتنی است مشابه تمامی مواد، این ترکیب ها نیز به دلیل از بین رفتن کرنش شبکه و درشت تر شدن دانه ها قله هایی تیز تر و با عرض کم تر دارند.

برای ارزیابی دقیق تر تشکیل نانو کامپوزیت، آزمون تحلیل گرمایی DSC برای نمونه MT1-20 انجام گرفت و نتایج حاصل در شکل ۶ نشان داده شده است. با توجه به شکل ۶ یک قله گرمایی در محدوده ۷۰-۱۰۰°C وجود دارد که طبیعتاً در اثر خروج مولکول های آب از پودر است. همچنین دو قله گرمایی در حدود ۵۰۰°C و ۱۰۸۰°C مشاهده می شود. در واقع قله هایی اصلی مورد نظر و قابل بحث همین قله های گرمایی هستند. قله

تیتانیم و بور در نمونه MT1-20 است. همچنین فاز Mo<sub>5</sub>Si<sub>3</sub> در نمونه 20-20 MT1 تشکیل نشده است، در حالی که در نمونه MT1-10 قله Mo<sub>5</sub>Si<sub>3</sub> ظاهر شده است. به نظر می رسد با افزایش درصد تقویت کننده از ۱۰ به ۲۰ درصد تبدیل MoSi<sub>2</sub>- به MoSi<sub>2</sub>- در زمان کم تری صورت گرفته است. سوریانارایانا [۲۱]- در اثر کاهش گزارش کرده است تبدیل MoSi<sub>2</sub>- به MoSi<sub>2</sub>- در اثر کاهش اندازه ذرات است که کاهش اندازه ذرات سبب پایین آمدن دمای تبدیل به می شود و تشکیل فاز MoSi<sub>2</sub> در زمان کم تری اتفاق می افتد. در این راستا یین و همکارانش [۱۵]- مشخص کردند که تشکیل فاز MoSi<sub>2</sub> در مراحل اولیه آسیاب کاری صورت می گیرد و برای تشکیل Mo<sub>5</sub>Si<sub>3</sub> به یک

ترکیب‌های احتمالی که بین عناصر تیتانیم، سیلیسیم و بور علاوه بر واکنش تشکیل تیتانیم بوراید (واکنش ۷) رخ می‌دهد مطابق واکنش‌های زیر است [۲۲].



$$G_f^{\circ} = -160,200 + 34.7T \text{ (J/mole)} \quad (8)$$



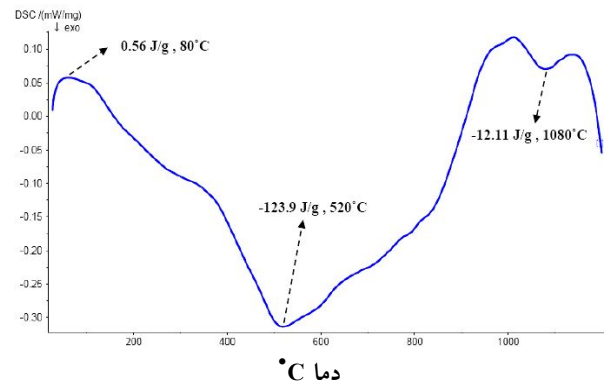
$$G_f^{\circ} = -272,000 + 56.5T \text{ (J/mole)} \quad (9)$$



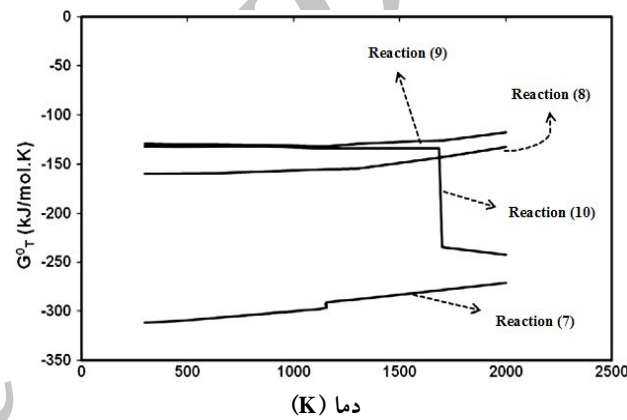
$$G_f^{\circ} = -133,900 + 61.1T \text{ (J/mole)} \quad (10)$$

شکل ۷ تغییرات انرژی آزاد گیبس بر حسب دما برای واکنش‌های ۷ تا ۱۰ را نشان می‌دهد. با توجه به این شکل می‌توان دریافت که فاز  $TiB_2$  از اندیشه اندیشه منفی تری نسبت به سایر فازها دارد یعنی به لحاظ ترمودینامیکی پایدارتر است. همچنین دمای تشکیل ترکیب  $TiB_2$  در محدوده  $1100^{\circ}\text{C}$  است که با نتایج تحلیل گرمایی مطابقت دارد. می‌توان نتیجه گرفت اگر شرایط جنبشی در طی آسیاب‌کاری فراهم باشد فاز  $TiB_2$  قبل از بقیه تشکیل می‌شود. بنابراین مکانیزم تشکیل نانوکامپوزیت در این نمونه دو مرحله‌ایست و بدون شک قله گرمایی دوم که در دمای حدود  $1080^{\circ}\text{C}$  اتفاق می‌افتد مربوط به تشکیل  $TiB_2$  است. این نتایج گواهی بر صحت مطالعات حاصل از الگوهای پراش پرتو ایکس است. همچنین نتایج مشابهی برای نمونه MT1-10 می‌توان مشاهده کرد.

در جدول ۲ تغییرات اندازه دانه و تغییرات میکروکرنش با زمان آسیاب‌کاری نشان داده شده است. مشاهده می‌شود که با افزایش زمان آسیاب‌کاری، اندازه دانه برای دو نمونه MT1-10 و MT1-20 کاهش و میکروکرنش افزایش می‌یابد. ولی عملیات گرمایی منجر به رشد دانه‌ها و کاهش میکروکرنش شده است. همچنین با توجه به جدول ۲ پس از عملیات گرمایی هنوز در ساختار نمونه‌ها کرنش باقی مانده است، برای حذف کامل کرنش در ساختار، به دما و زمان بیشتری برای آنیل نمونه‌ها نیاز است که با افزایش زمان یا دمای آنیل دانه‌هایی درشت و فاقد کرنش ایجاد می‌شود ولی رشد دانه‌ها باعث خارج شدن از محدوده نانومتری می‌شود.



شکل ۶- تحلیل گرمایی DSC برای نمونه MT1-20 با نرخ گرمایش  $10 \text{ K/min}$  در اتمسفر گاز آرگون

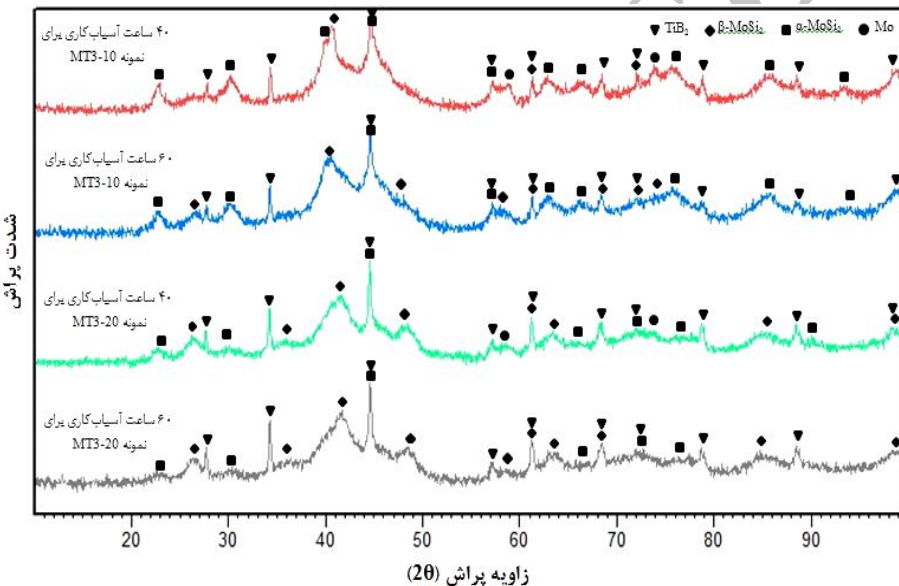


شکل ۷- تغییرات انرژی آزاد گیبس بر حسب دما برای واکنش‌های (۷) تا (۱۰) [۲۲]

گرمایی در محدوده  $500^{\circ}\text{C}$  مربوط به تشکیل دی‌سیلیسید‌مولیبدن است. طبق مکانیزم تشکیل دی‌سیلیسید‌مولیبدن پیشنهاد شده توسط پژوهشگران [۹ و ۱۵-۱۷]، در طی فرایند آسیاب‌کاری، سیلیسیم (با شعاع اتمی  $0.132 \text{ nm}$ ) در شبکه مولیبدن (با شعاع اتمی  $0.136 \text{ nm}$ ) حل شده، محلول جامد Mo(Si) به اشباع رسیده است و طی یک واکنش گرمایی ترکیب بین فلزی  $\text{MoSi}_2$  تشکیل می‌شود. بنابراین اولین مرحله در فرایند تشکیل نانوکامپوزیت  $\text{MoSi}_2\text{-TiB}_2$ ، تشکیل  $\text{MoSi}_2$  است. آنچه که توسط پژوهشگران [۲۲ و ۲۳] پیشنهاد شده این است که در مرحله بعد تیتانیم و بوری باقی‌مانده با هم واکنش می‌دهد و تیتانیم بوراید به دلیل بیشتر (منفی تر) بودن گرمایی تشکیل از بقیه ترکیباتی که احتمالاً می‌توانند به وجود آیند، تشکیل می‌شود.

## جدول ۲- میانگین اندازه دانه و میکروکرنش نمونه MT1 آسیاب شده پیش و پس از عملیات گرمایی

۶۰ ساعت آسیاب کاری				۴۰ ساعت آسیاب کاری				ساختار بلوری	
پس از عملیات گرمایی		پیش از عملیات گرمایی		پس از عملیات گرمایی		پیش از عملیات گرمایی			
(%)	d(nm)	(%)	d(nm)	(%)	d(nm)	(%)	d(nm)		
۰/۶۱	۲۳/۵	۰/۷۷	۱۴	۰/۲۸	۴۹/۵	-	-	-MoSi <sub>2</sub>	
-	-	۰/۷۲	۱۳/۵	-	-	۰/۵۸	۳۴/۳	-MoSi <sub>2</sub> MT1-10	
۰/۳۸	۵۳/۵	۱/۱	۳۵/۵	۰/۵	۹۲/۴	۰/۷	۸۶/۵	TiB <sub>2</sub>	
۰/۸	۲۳/۹	-	-	۰/۲۱	۴۲	-	-	-MoSi <sub>2</sub>	
-	-	۰/۹۷	۱۶/۹	-	-	۰/۶۳	۳۸/۵	-MoSi <sub>2</sub> MT1-20	
۰/۱۵	۴۷/۸	۰/۹۷	۳۴/۶	۰/۴۵	۸۱/۵	۰/۷۴	۷۲/۹	TiB <sub>2</sub>	



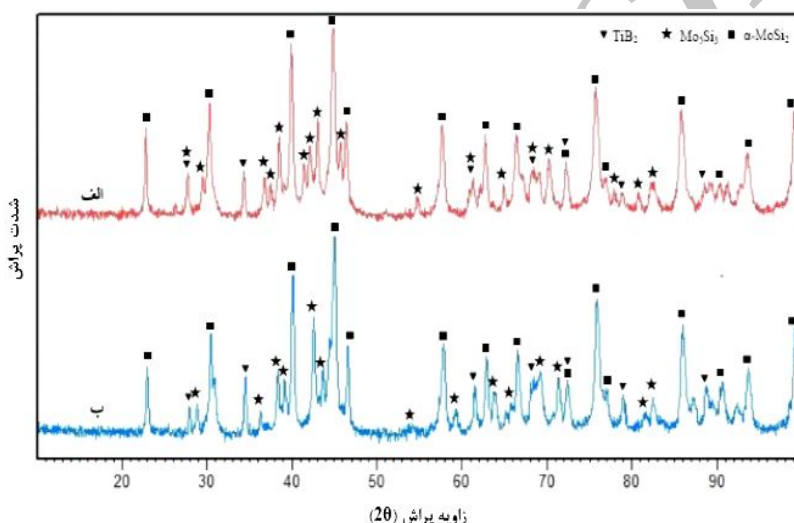
شکل ۸- الگوهای XRD از نمونه‌های MT2-10 و ۲۰ آسیاب شده در زمان‌های مختلف

روش طی ۶۰ ساعت آسیاب کاری قله‌های مولیبدن ناپدید شده‌اند که به دلیل کم بودن مقدار مولیبدن و نانوبلور شدن، قله مولیبدن ناپدید شده و قله MoSi<sub>2</sub> ظاهر شده است. قله‌های تقویت‌کننده تیزتر و نیز با عرض کم ترند که نشان می‌دهد فاز TiB<sub>2</sub> با دانه‌های بزرگتر در زمینه MoSi<sub>2</sub> قرار دارند. ولی در روش اول (MT1) با توجه به شدت کم قله‌های TiB<sub>2</sub> می‌توان گفت به دلیل عوامل متعددی مانند کرنش بالای ایجاد شده در شبکه بلوری تیتانیم بوراید و نانوبلوری شدن دانه‌های ذرات

۳-۱-۳- ساخت نانوکامپوزیت MoSi<sub>2</sub>-TiB<sub>2</sub> دو مرحله‌ای با استفاده از پودر آماده تجاری TiB<sub>2</sub> در مرحله اول، ابتدا MoSi<sub>2</sub> از مولیبدن و سیلیسیم طی ۳۰ ساعت آسیاب کاری تولید شد و در مرحله دوم، پس از ساخت زمینه، پودر TiB<sub>2</sub> تجاری با دو درصد وزنی ۱۰ و ۲۰ افزوده شد و آسیاب کاری تا ۶۰ ساعت ادامه یافت. شکل ۸، الگوهای XRD دو نمونه MT2-10 و MT2-20 پس از ۴۰ و ۶۰ ساعت آسیاب کاری را نشان می‌دهد. در این

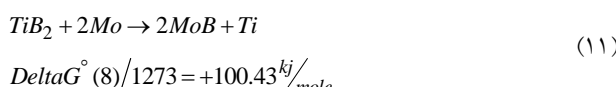
جدول ۳- میانگین اندازه دانه و میکروکرنش نمونه MT2 آسیاب شده پیش و پس از عملیات گرمایی

۳۰ ساعت آسیاب کاری در مرحله دوم				۱۰ ساعت آسیاب کاری در مرحله دوم				ساختار بلوری	
پس از عملیات گرمایی		پیش از عملیات گرمایی		پس از عملیات گرمایی		پیش از عملیات گرمایی			
d(nm)	d(nm)	d(nm)	d(nm)	d(nm)	d(nm)	d(nm)	d(nm)		
۰/۱۸	۲۷/۴	۱/۹۳	۱۲/۱	-	-	۱/۳۲	۱۲/۴	-MoSi <sub>2</sub>	
-	-	۰/۵۸	۱۶/۱	-	-	۰/۵۲	۱۹/۵	-MoSi <sub>2</sub>	
۰/۲۵	۷۷	۰/۷	۴۷/۸	-	-	۰/۲۷	۸۶/۴	TiB <sub>2</sub>	
۰/۵	۲۸/۸	۰/۹۵	۱۱/۷	-	-	۱/۱	۹/۵	-MoSi <sub>2</sub>	
-	-	۱/۳۴	۱۴/۴	-	-	۰/۵۷	۱۵	-MoSi <sub>2</sub>	
۰/۲۵	۱۰۶/۶	۰/۷۲	۵۱/۳	-	-	۰/۵	۶۳/۳	TiB <sub>2</sub>	
MT2-10								MT2-20	



شکل ۹- الگوهای XRD: (الف) نمونه MT2-10 ۳۰ ساعت آسیاب کاری شده پس از عملیات گرمایی و (ب) نمونه MT2-20 ۳۰ ساعت آسیاب کاری شده پس از عملیات گرمایی

مثبت ( $\Delta G^\circ(8)/1273 = +100.43 \frac{kJ}{mole}$ ) نشان‌دهنده انجام نشدن واکنش ۱۱ حین عملیات گرمایی است. بنابراین مولیبدن باقی‌مانده با بور واکنش نمی‌دهد و با نتایج الگوهای پراش پرتو ایکس شکل ۹ سازگار است.



در جدول ۳ تغییرات اندازه دانه و تغییرات میکروکرنش با زمان آسیاب کاری نشان داده شده است. مشاهده می‌شود که با

تیتانیم بوراید در زمان آسیاب کاری طولانی باشد. همان‌طور که در شکل ۹ مشخص است، پس از گرمادهی قله Mo<sub>5</sub>Si<sub>3</sub> ظاهر شده است. تشکیل Mo<sub>5</sub>Si<sub>3</sub> را می‌توان به‌دلایلی که در بخش ۱-۱-۳ توضیح داده شد، نسبت داد. هم‌چنین ترکیب TiB<sub>2</sub> افروده شده براساس واکنش ۱۱ [۲۰] و اطلاعات ترمودینامیکی ارایه شده، در زمینه MoSi<sub>2</sub> پایدار است که به‌دلیل تغییر انرژی آزاد استاندارد این واکنش در دمای عملیات گرمایی مثبت است. این تغییر انرژی آزاد استاندارد

جدول ۴- مقادیر میانگین سختی سه نمونه ساخته شده و درصد افزایش سختی

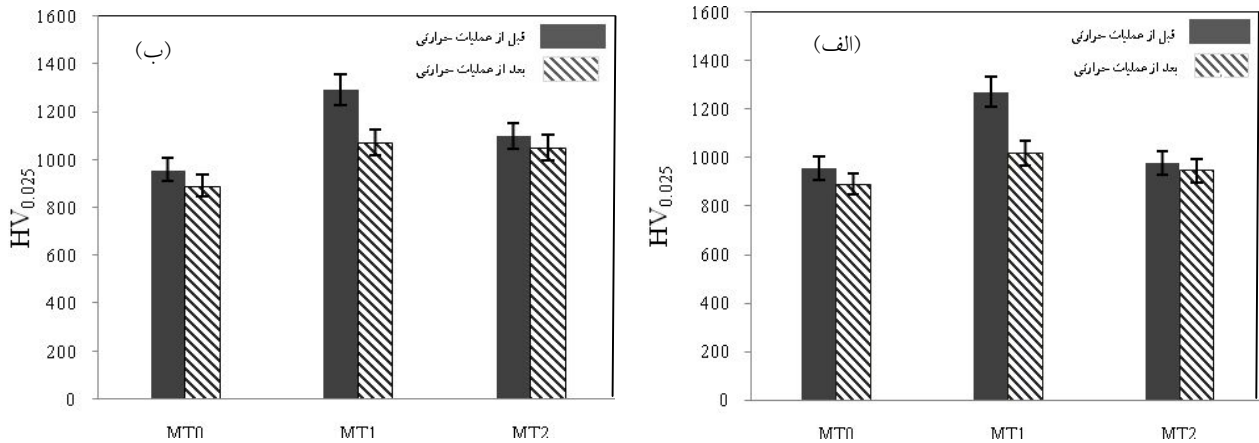
درصد افزایش سختی نسبت به MT0		میانگین سختی ( $HV_{0.025}$ )		نمونه
پس از عملیات	گرمایی	پس از عملیات	گرمایی	
-	-	۸۹۱	۹۵۷	MT0
۱۴/۲	۳۲/۹	۱۰۱۸	۱۲۷۲	
۲۰/۳	۳۵/۱	۱۰۷۲	۱۲۹۳	
۶/۳	۲/۳	۹۴۷	۹۷۹	
۱۷/۹	۱۴/۷	۱۰۵۱	۱۰۹۸	

### ۲-۳- ارزیابی سختی ذرات پودر

برای ارزیابی روند تغییرات سختی نمونه حین آلیاژسازی مکانیکی و بررسی اثر تشکیل ساختار نانومتری در سه نمونه، MT1 و MT2 آزمون ریزسختی سنجی روی نمونه‌ها انجام شد. جدول ۴ مقادیر سختی به دست آمده از سه نمونه و درصد افزایش سختی را نشان می‌دهد. افزودن فاز سخت  $TiB_2$  تأثیر قابل ملاحظه‌ای بر سختی  $MoSi_2$  داشته است. شکل ۱۰ مقایسه مقادیر ریزسختی ذرات پودر سه نمونه MT0، MT1 و MT2 را نشان می‌دهد.

با توجه به جدول ۴، سختی نمونه‌ی 10 MT1 نسبت به نمونه MT0 با حضور فاز سخت ( $TiB_2$ ) افزایش می‌یابد و درصد افزایش سختی در نمونه نانوکامپوزیت به حدود ۳۳٪ می‌رسد. با افزایش مقدار  $TiB_2$  از ۱۰ به ۲۰٪، افزایش سختی به حدود ۳۵٪ می‌رسد. در مقایسه میکروسختی نمونه MT2 با نمونه MT0 افزایش سختی به ۲۳٪ می‌رسد که نشان می‌دهد افزودن ۱۰ درصد وزنی  $TiB_2$  تجاری تأثیر قابل توجهی بر سختی نانوکامپوزیت نداشته است، در حالی که با افزایش مقدار  $TiB_2$  از ۱۰ به ۲۰٪، افزایش سختی به حدود ۱۵٪ می‌رسد. پس از عملیات گرمایی سختی کاهش می‌یابد، این کاهش سختی پس از عملیات گرمایی را می‌توان به از بین رفتند اثرات کارسختی در اثر فرایندهای بازیابی با قرار گرفتن نمونه در دمای بالا نسبت داد. افزایش سختی نمونه MT1 نسبت به نمونه MT2 می‌تواند به دلیل ریزتر بودن اندازه ذرات و اندازه

افزایش زمان آسیاب‌کاری، اندازه دانه برای دو نمونه 10 و 20 MT2 کاهش و میکروکرنش افزایش می‌یابد. براساس این جدول با افزودن  $TiB_2$  تجاری میزان کاهش اندازه دانه  $MoSi_2$  در نمونه MT2 نسبت به کاهش اندازه دانه  $MoSi_2$  در نمونه MT1 بیشتر است. مجدداً می‌توان این مطلب را به حضور فاز سخت  $TiB_2$  نسبت داد که تغییر فرم کمتری نسبت به زمینه می‌یابد و به صورت الاستیک مقداری از فشار اعمالی را تحمل می‌کند. در این حالت مقدار فشار موثر روی فاز پلاستیک افزایش می‌یابد. در واقع نیاز به تغییر شکل بیشتر ذرات نرم برای پرکردن فضاهای خالی در نقاط تماس با ذرات سخت دارد. بنابراین ذرات درشت‌تر در مقایسه با ذرات ریز به دلیل نرخ انتقال بار بالاتر به زمینه باعث افزایش نرخ کار سختی می‌شوند. هم‌چنین پس از عملیات گرمایی دانه‌های  $MoSi_2$  در نمونه MT2 رشد بیشتری نسبت به نمونه MT1 داشته‌اند. این به دلیل آن است دانه‌های  $MoSi_2$  در نمونه MT2 نسبت به نمونه MT1 ریزترند و دانه‌های ریزتر به دلیل داشتن انحنای بیشتر در مرز دانه، نیرو محکم <sup>۱۳</sup> بیشتری برای رشد دارند. به عبارتی دانه‌های ریز با نرخ رشد بیشتری نسبت به دانه‌های MT0 رشد می‌یابند. بنابراین به ازای دما و زمان ثابت دانه‌های ریزتر (نمونه MT2) نسبت به دانه‌های درشت‌تر (نمونه MT1) رشد بیشتری دارند [۲۴].



شکل ۱۰- مقایسه سختی MT0، MT1 و MT2 در ۶۰ ساعت آسیاب کاری قبل و بعد از عملیات گرمایی:

الف) MoSi<sub>2</sub>-20wt%TiB<sub>2</sub> و ب) MoSi<sub>2</sub>-10wt%TiB<sub>2</sub>

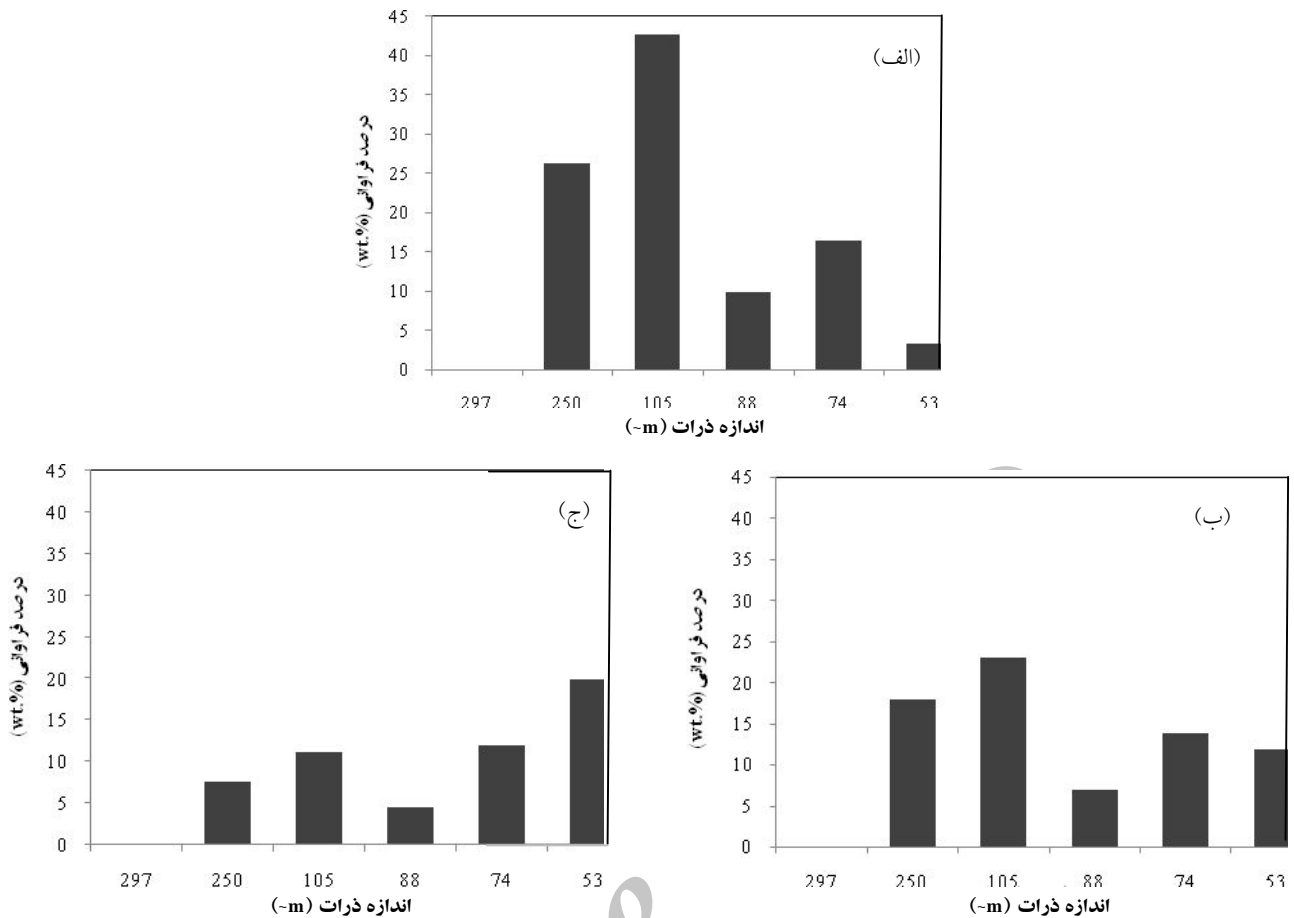
برای این فرایند وجود دارد [۲۵]. در این پژوهش از کلوخه‌سازی، به دلیل تولید پودری با کیفیت از نظر ریخت و استحکام پودر، مورد توجه قرار گرفت. شکل ۱۱ توزیع اندازه ذرات نمونه‌های MT0، MT1 و MT2 پس از عملیات کلوخه‌سازی را نشان می‌دهد. نمودارهای شکل ۱۱ با توجه به نتایج حاصل از تحلیل سرند مخلوط‌های پودری به دست آمده‌اند. همان‌طور که در شکل ۱۱ دیده می‌شود بیشتر از ۴۰٪ ذرات MT0 در بازه ۲۵۰-۱۰۵ میکرومتر است و تقریباً ۲۰٪ ذرات MT1 و MT2 در بازه ۲۵۰-۱۰۵ میکرومتر است. اندازه ذرات MT0 بزرگ‌تر از ذرات MT1 و MT2 است. با توجه به پایین بودن دقت آنالیز سرند برای تایید توزیع اندازه ذرات از تصاویر میکروسکوپی استفاده شد. شکل ۱۲ تصاویر میکروسکوپی الکترونی روبشی از سطح مقطع ذرات پودرهای MoSi<sub>2</sub> پس از ۶۰ ساعت آسیاب کاری و MoSi<sub>2</sub>-20wt%TiB<sub>2</sub> قبل از آسیاب کاری و پس از ۶۰ ساعت آسیاب کاری و همچنین از سطح مقطع ذرات بعد از عملیات کلوخه‌سازی در دو روش را نشان می‌دهد. همان‌گونه که در شکل ۱۲-الف دیده می‌شود مخلوط پودرهای اولیه قبل از آسیاب کاری، توزیع اندازه ذره متفاوتی دارند. آسیاب کردن این مخلوط به مدت ۶۰ ساعت به تشکیل ذرات بسیار ریزی منجر شد. ماهیت و شکل ذرات کاملاً متفاوت از مواد اولیه است و ذرات به یک دیگر آگلومره شده‌اند. با گذشت ۶۰ ساعت

دانه TiB<sub>2</sub> در روش اول (با استفاده از عناصر تیتانیم و بور که از همان ابتدا به مدت ۶۰ ساعت آسیاب کاری شد) نسبت به TiB<sub>2</sub> تجاری که در روش دوم با زمان آسیاب کاری کم‌تری افزوده شد.

با بررسی نتایج حاصل، مشخص شد پودرهای تولیدی از روش اول حاوی ذرات TiB<sub>2</sub> ریزتر، پرشدن راحت‌تر فضاهای خالی میان TiB<sub>2</sub> به وسیله زمینه نرم و با قابلیت تراکم‌پذیری بیش‌تر دارای ریزساختی بالاتری است. این ذرات ریز برای کلوخه‌سازی مستعد‌ترند، در حالی که پودرهای تولیدی از روش دوم حاوی ذرات TiB<sub>2</sub> درشت‌تر، جابه‌جایی ذرات زمینه را محدود کرده، باعث کند شدن مکانیزم متراکم شدن می‌شوند و دارای ریزساختی کم‌تری هستند.

### ۳-۳- کلوخه‌سازی پودر آلیاژسازی شده

نانوذرات را به دلایلی مثل نرخ سیلان کم، تمایل به کلوخه شدن شدید حین پاشش، نیاز به جریان زیاد گاز برای پاشش، نرخ رسوب ناکارآمد بهزیرایه (به دلیل تمایل کم ساکن شدن نانوذرات) و چسبندگی زیاد به دیواره تغذیه‌کننده‌ی تفنگ پاشش، نمی‌توان به صورت مستقیم پاشش گرمایی داد. از این‌رو باید اندازه ذرات را از نانومتر به میکرومتر تبدیل نمود. معمولاً دو روش اصلی شامل تف‌جوشی-خردکردن و کلوخه‌کردن



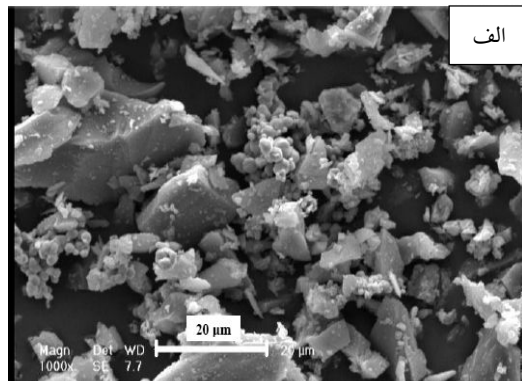
شکل ۱۱- توزیع اندازه ذرات: (الف) MT0، (ب) MT1 و (ج) MT2

MT1 و MT2 تقریباً با هم یکی بوده و بیشتر از نمونه MT0 است. به نظر می‌رسد با افزودن ترکیب  $TiB_2$  به عنوان تقویت‌کننده به  $MoSi_2$  میزان کروی شدن ذرات بیشتر شده است و اندازه ذرات مطلوبی به دست آمده است. از مقایسه نمودارهای شکل ۱۳ می‌توان دریافت که توزیع مساحت ذرات نمونه MT0 پراکنده است ولی بیشتر توزیع مساحت ذرات دو نمونه MT1 و MT2 در محدوده  $6000\text{--}3000 \mu\text{m}^2$  است که با توزیع اندازه ذرات دو نمونه در محدوده  $74\text{--}53 \mu\text{m}$  متناسب است.

آسیاب کاری کاهش قابل توجه در اندازه ذرات اتفاق افتاده است. متوسط اندازه ذرات پودر حاصل از فرایند آلیاژسازی مکانیکی  $500 \text{ nm}$  است، لذا این گونه ذرات از قابلیت مطلوب برای پاشش برخوردار نیست و بخش زیادی از پودر به محض قرار گرفتن در افشارنگ (تفنگ پلاسمای) در فضا معلق و به سمت زیرلایه پرتاب نمی‌شوند. برای رفع این مشکل و درشت شدن ذرات از روش خشک کردن پاششی استفاده شد. همان‌طور که در تصاویر ب ۲ تا ۲ در شکل ۱۲ مشاهده می‌شود متوسط اندازه ذرات بعد از عملیات کلوخه‌سازی  $100 \mu\text{m}$  است.

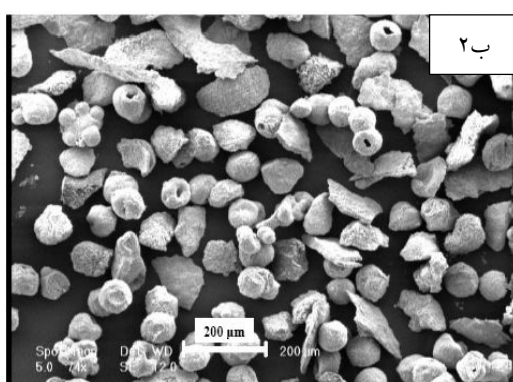
شکل ۱۳ میزان کروی بودن ذرات و توزیع مساحت ذرات را توسط نرم افزار Clemex نشان می‌دهد. با توجه به نتایج حاصل مشخص شد که میزان کروی بودن ذرات نمونه‌های

پودر نانوکامپوزیت  $MoSi_2-TiB_2$  با دو روش با استفاده از عناصر اولیه و  $TiB_2$  تجاری به وسیله آسیاب گلوله‌ای تولید شد.



بعد از فرایند کلوخه سازی مکانیکی

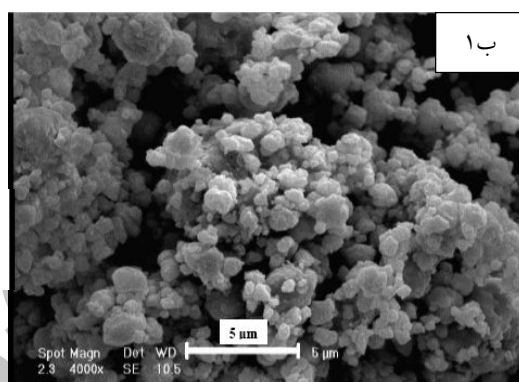
الف



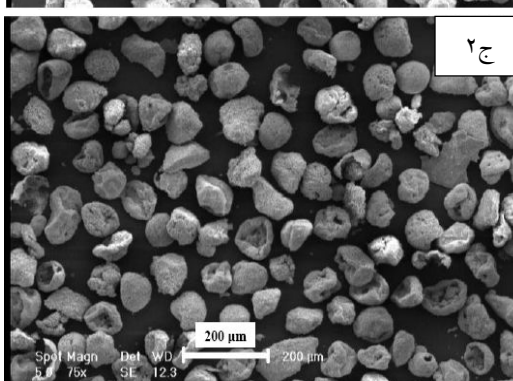
بعد از فرایند کلوخه سازی

بعد از فرایند آلیاژ سازی مکانیکی

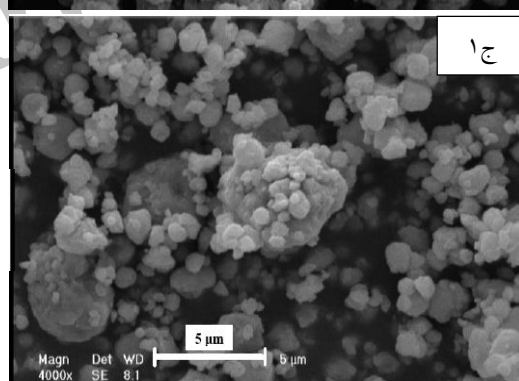
۲ ب



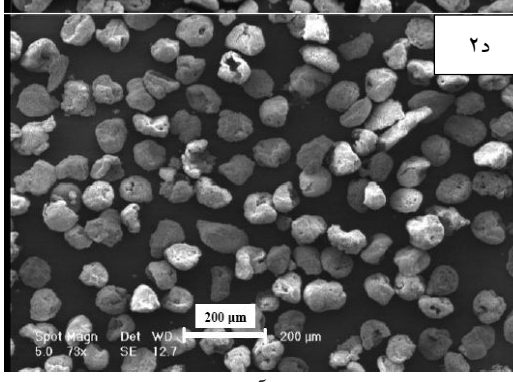
۱ ب



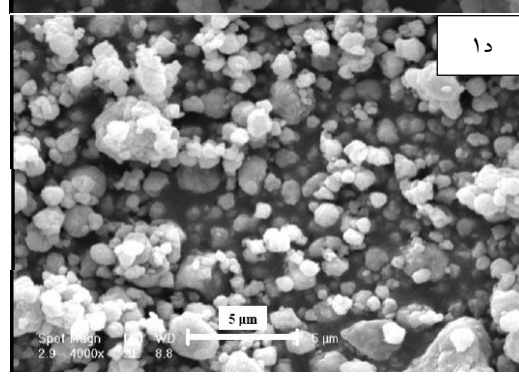
۲ ج



۱ ج

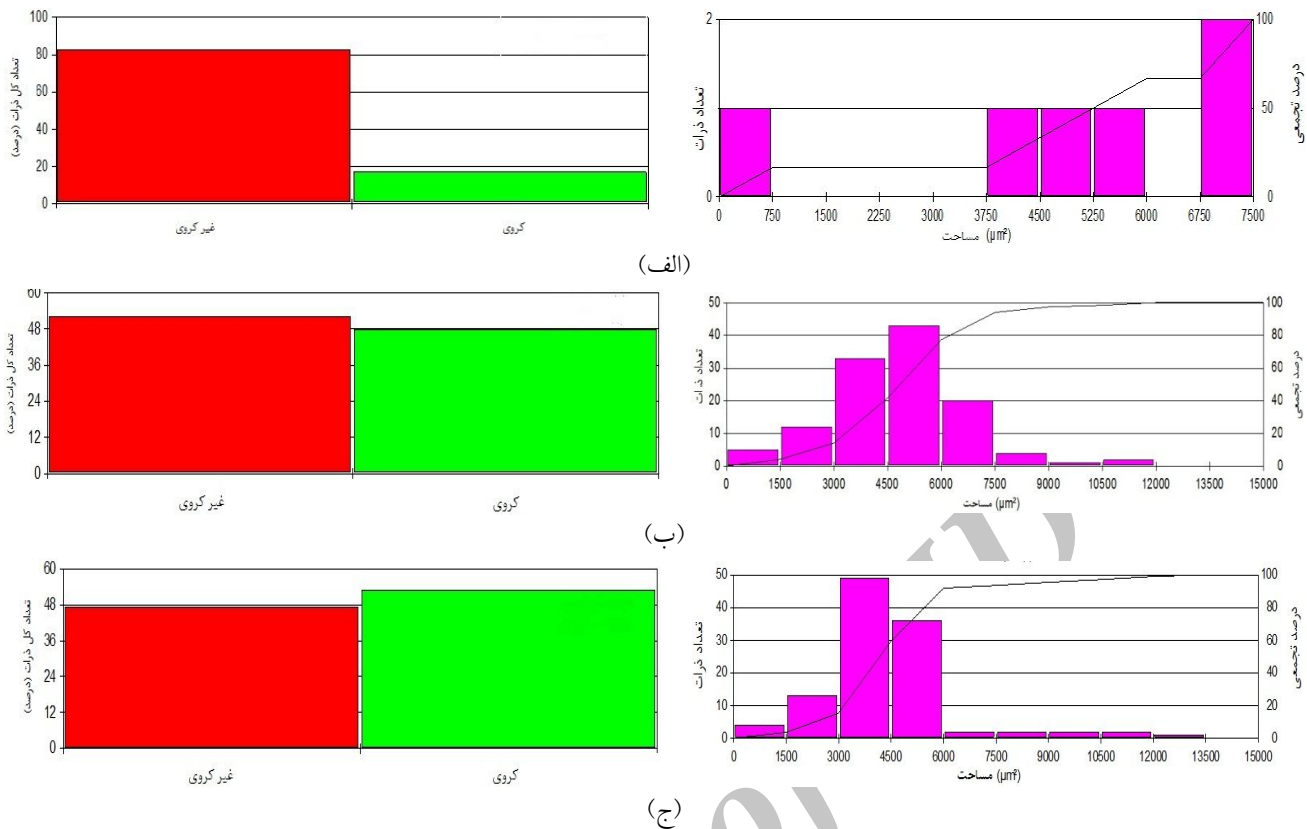


۲ د



۱ د

شکل ۱۲- تصاویر SEM از سطح مقطع ذرات پودر نمونه های MT0، MT1 و ۲۰-۲۰؛ الف) قبل از آسیاب کاری نمونه MT1  
ب(۱) ۶ ساعت آسیاب کاری نمونه MT0، ج(۱) ۶۰ ساعت آسیاب کاری نمونه MT1، د(۱) ۶۰ ساعت آسیاب کاری نمونه MT2 و  
ب(۲) تا د(۲) ذرات کلوخه و دانه بندی شده نمونه های MT1، MT0 و MT2



شکل ۱۳- میزان کروی بودن ذرات و توزیع مساحت ذرات: (الف) MT0، (ب) MT1 و (ج) MT2

کمترین میزان کرویت ذرات (۱۷٪) مربوط به نمونه MT0 و بیشترین میزان کرویت (۵۳٪) مربوط به نمونه MT2-20 است. براساس یافته‌های پژوهش مشخص شد پودر نانوکامپوزیت تولید شده از روش اول (MT1-20) با توجه به بالاتر بودن ریزساختی آن و میزان کرویت مطلوب پس از عملیات کلوخه‌سازی از کیفیت بالایی برای استفاده در فرایند پاشش گرمایی برخوردار است.

نتایج نشان داد پودر تولیدی از روش اول حاوی ذرات ریز  $\text{TiB}_2$  دارای ریز ساختی بالاتری نسبت به پودر تولیدی از روش دوم است. بیشترین ساختی مربوط به نمونه MT1-20 برابر ۱۲۹۳HV و کمترین ساختی مربوط به نمونه MT0 برابر ۹۵۷HV است. کلوخه‌سازی پودرهای برای استفاده در فرایند پاشش گرمایی از روش خشک کردن پاششی انجام شد و با کمک نرم‌افزار Clemex میزان کروی بودن ذرات مشخص شد.

## واژه‌نامه

- |                             |                             |   |
|-----------------------------|-----------------------------|---|
| 1. body-centered tetragonal | 6. Merck                    | 11. differential scanning calorimetry (DSC) |
| 2. body-centered cubic      | 7. Buehler                  | 12. scanning electron microscopy (SEM)      |
| 3. thermal spraying         | 8. spray drying             | 13. driving force                           |
| 4. Riedel-de Ha  n          | 9. poly vinyl alcohol       |   |
| 5. Aldrich                  | 10. X-ray diffraction (XRD) |   |

## مراجع

1. Petrovic J.J., and Vasudevan A.K., "Key Developments in High Temperature Structural Silicides", *Materials Science and Engineering*, Vol. A261, pp.1-5, 1999.
2. ادريس، ح.، بخشی، ر.، برهانی، غ. ح. صالحی، م.، "ارزیابی مقاومت به اکسایش پیوسته پوشش پاشش حرارتی روی فولاد ساده کربنی" ، مجله علمی پژوهشی دانشگاه صنعتی اصفهان (استقلال)، سال ۲۹، شماره ۱، ص ۳۰-۲۱ . ۱۳۸۹
3. Harada, Y., M. Morinaga, D., Saso, Takata M., Sakatab, M., "Refinement in Crystal Structure of MoSi<sub>2</sub>", *Intermetallics*, Vol.6, pp. 523-527, 1998.
4. Zakeri, M., Ramezani, M., "Synthesis of MoSi<sub>2</sub> -TiC Nanocomposite Powder via Mechanical Alloying and Subsequent Annealing", *Ceramics International*, Vol. 38, pp. 1353-1357, 2012.
5. Zamani, Sh., Bakhsheshi-Rad, H.R., Shokuhfar, A., Vaezi, M.R., Abdul Kadir, M.R., Mohammad Shafiee, M.R., "Synthesis and Characterization of MoSi<sub>2</sub>-Mo<sub>5</sub>Si<sub>3</sub> Nanocomposite by Mechanical Alloying and Heat Treatment", *Refractory Metals and Hard Materials*, Vol. 31, pp. 236-241, 2012.
6. Zakeri, M., Ahmadi, M., "Mechanochemical Synthesis of MoSi<sub>2</sub>-SiC Nanocomposite Powder", *Ceramics International*, Vol. 38, pp. 2977-2982, 2012.
7. Zuo, K., Xi, Sh., Zhou, J., "Structure Evolution and Thermodynamic Analysis of MoSi<sub>2</sub> During Mechanical Alloying", *Materials Science and Engineering*, Vol. A445, pp. 48-53, 2007.
8. Zakeri, M., Yazdani Rad, R., Enayati, M.H., Rahimipour, M.R., Mobasherpour, I., "Mechanochemical Reduction of MoO<sub>3</sub>/SiO<sub>2</sub> Powder Mixtures by Al and Carbon for the Synthesis of Nano Crystalline MoSi<sub>2</sub>", *Alloys and Compounds*, Vol. 430, pp. 170-174, 2007.
9. Zakeri, M., Yazdani Rad, R., Enayati, M.H., Rahimipour, M.R., "Synthesis of Nanocrystalline MoSi<sub>2</sub> by Mechanical Alloying", *Alloys and Compounds*, Vol. 403, pp. 258-261, 2005.
10. Zhang, H., Long, Ch., Chen, P., Tang, G., Liu, X., "Synthesis and Properties of MoSi<sub>2</sub> Alloyed with Aluminum", *Materials Science and Engineering A*, Vol. 21, pp.75-79, 2003.
11. Chen, H., Ma, Q., Song, Q.x., "Rapid Synthesis of Mo<sub>5</sub>Si<sub>3</sub>-Al<sub>2</sub>O<sub>3</sub> Nanocomposite Powders by Mechanochemical Reduction Method", *Transactions of Nonferrous Metals Society of China*, Vol 21, pp.1557-1562, 2011.
12. Nozari, A., Ataie, A., Heshmati-Manesh, S., "Synthesis and Characterization of Nano-Structured TiB<sub>2</sub> Processed by Milling Assisted SHS Route", *Materials Characterization*, Vol 73, pp.96-103, 2012.
13. Tang Wen, M., Zheng Zh, X., Wu Yu, C., Wang Jian, M., Lu, M., Liu Jun, W., "Synthesis of TiB<sub>2</sub> Nanocrystalline Powder by Mechanical Alloying", *Transactions of Nonferrous Metals Society of China*, Vol. 16, pp. 613-617, 2006.
14. Pertovic, J.J., Bhattacharya, A.K., Honnell, R.E., Mitchell, T.E., "ZrO<sub>2</sub> and ZrO<sub>2</sub>-SiC Particle Reinforced MoSi<sub>2</sub> Matrix Composites", *Materials Science and Engineering A*, Vol. 155, pp. 259-266, 1992.
15. Aizawa, T., Kihara, J., Yen, B.K., "Synthesis and Formation Mechanisms of Molybdenum Silicides by Mechanical Alloying", *Materials Science and Engineering A*, Vol. 220, pp. 8-14, 1996.
16. Schwarz, R.B., Srinivasan, S.R., Petrovic, J.J., Maggiore, C.J., "Synthesis of Molybdenum Disilicide by Mechanical Alloying", *Materials Science and Engineering A*, Vol.155, pp. 75-83, 1992.
17. Kang, C.P., Yin, Z.D., "Formation Mechanism and Nanocrystalline Phase Transformation of Molybdenum Disilicide by Mechanical Alloying", *Nanotechnology*, Vol. 15, pp. 851-855, 2004.
18. Cullity, B.D., *Elements of X-Ray Diffraction*, Addison-Wesley, 1978.
19. Williamson, G.K., Hall, W.H., "X-Ray Crystallography Line Broadening from Field Aluminium and Wolfram", *Acta Metalurgica*, Vol. 1, pp. 22-31, 1953.
20. Kubaschewski, O., *Materials Thermochemistry*, Sixth ed., Oxford Pergamon Press, 1993.
21. Suryanarayana, C., *Mechanical Alloying and Milling*, Marcel Dekker, New York, 1998.
22. Hwang, Y., Lee, J. K., "Preparation of TiB<sub>2</sub> Powders by Mechanical Alloying", *Materials Letters*, Vol. 54, pp. 1 – 7, 2002.
23. Nozari, A., Heshmati-Manesh, S., Ataie, A., "A Facile Synthesis of TiB<sub>2</sub> Nano-Particles via Mechano-Thermal Route", *Journal of Refractory Metals and Hard Materials*, Vol. 33, pp. 107–112, 2012.
24. Porter, D.A., Easterling, K.E., *Phase Transformation in Metals and Alloys*, 2<sup>nd</sup> ed, Chapman and Hall, 1992.
25. Nandiyanto, A.B.D, Okuyama, K., "Progress in Developing Spray-Drying Methods for the Production of Controlled Morphology Particles: From the Nanometer to Submicrometer Size Ranges", *Advanced Powder Technology.*, Vol. 22, pp. 1–19, 2011